

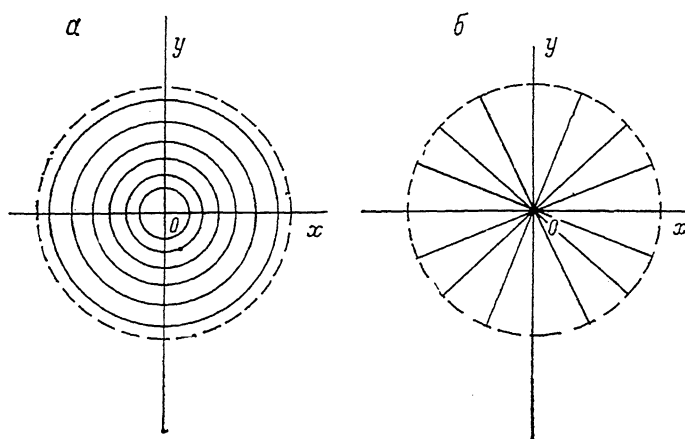
## ПЕРЕХОДНОЕ ИЗЛУЧЕНИЕ НА КОЛЬЦЕВОЙ РЕШЕТКЕ

И. И. Каликинский

На основании найденного способа решения однородного векторного волнового уравнения в цилиндрических координатах решена задача о переходном излучении на кольцевой и радиальной решетках в дипольном случае. Найдено поле излучения, его энергия, спектр и поляризация. Показано, что случай кольцевой и радиальной решеток отличаются между собой только поляризацией излучения. Высказаны соображения для ультраквантостатического случая, в котором кольцевая и радиальная решетки резко отличаются, кроме поляризации, также и интенсивностью. Предложено использовать кольцевую решетку для регистрации магнитных зарядов.

### Переходное излучение на кольцевой решетке

В работе [1] исследованы особенности переходного излучения на решетке, состоящей из параллельных прутьев. Мы рассмотрим этот вопрос для случая, когда решетка образована концентрическими кольцами, расположенными в плоскости  $z \approx 0$ . При этом изучим длинноволновую часть спектра излучения



*a* — кольцевая решетка, *б* — радиальная решетка.

заряда и будем считать расстояние между кольцами (идеально проводящими) и толщину этих колец много меньше длины волны. При этом решетку можно рассматривать в приближении односторонней проводимости [1], т. е. проводимость вдоль колец бесконечная, а проводимость вдоль радиусов нулевая. Сопряженной к кольцевой решетке является радиальная решетка, у которой проводимость вдоль радиусов бесконечная, а вдоль окружностей нулевая. В обоих случаях мы имеем дело с анизотропно проводящей плоскостью, причем анизотропия полярная, в том смысле, что она проявляется в направлении координатных линий полярной системы координат в плоскости  $xOy$  (см. рисунок).

Рассмотрим сначала кольцевую решетку. Наличие анизотропии означает, что имеет место граничное условие

$$E_\varphi|_{z=0} = 0.$$

Перейдем к постановке задачи. Параллельно оси  $z$  (решетка занимает плоскость  $z=0$ ) движется точечный заряд  $q$ , пересекающий плоскость  $xOy$  в точке  $M_0(x_0, y_0)$ . Равномерно движущийся заряд создает ток с плотностью  $\mathbf{j}(0, 0, j)$ , где

$$\mathbf{j} = q\mathbf{v}\delta(x - x_0)\delta(y - y_0)\delta(z - vt), \quad (2)$$

где  $\mathbf{v} = \text{const}$ .

Обозначим радиус-вектор точки  $M_0$  через  $\mathbf{r}_0$ , а радиус-вектор точки  $M(x, y)$  через  $\mathbf{r}$ . Угол между этими векторами обозначим через  $\varphi$  и по теореме косинусов запишем модуль вектора  $\mathbf{r}' = \mathbf{r} - \mathbf{r}_0$

$$r' = \sqrt{r^2 + r_0^2 - 2rr_0 \cos \varphi}. \quad (3)$$

Разлагая  $\delta$ -функции в интеграл Фурье—Бесселя, получим

$$\mathbf{j} = \frac{q\mathbf{v}_0}{(2\pi)^2} \int_{-\infty}^{\infty} e^{-i\omega\left(t - \frac{z}{v}\right)} d\omega \int_0^{\infty} \lambda J_0(\lambda r') d\lambda. \quad (4)$$

Применим теперь теорему сложения бесселевых функций [2]

$$J_0(\lambda r') = \sum_{m=-\infty}^{\infty} J_m(\lambda r_0) J_m(\lambda r) \cdot e^{im\varphi}. \quad (5)$$

Тогда формула (4) примет вид

$$\mathbf{j} = \frac{q\mathbf{v}_0}{(2\pi)^2} \int_{-\infty}^{\infty} e^{-i\omega\left(t - \frac{z}{v}\right)} d\omega \sum_{m=-\infty}^{\infty} e^{im\varphi} \int_0^{\infty} J_m(\lambda r_0) J_m(\lambda r) \lambda d\lambda,$$

где  $\mathbf{v}_0$  — единичный вектор в направлении  $\mathbf{v}$ , т. е. оси  $z$ .

При отыскании поля, создаваемого зарядом  $q$ , будем исходить из уравнений Максвелла

$$\operatorname{rot} \mathbf{H} = \frac{1}{c} \frac{\partial \mathbf{E}}{\partial t} + \frac{4\pi}{c} \mathbf{j},$$

$$\operatorname{rot} \mathbf{E} = -\frac{1}{c} \frac{\partial \mathbf{H}}{\partial t}. \quad (7)$$

Разложим все величины в интеграл Фурье по времени и введем электрический вектор Герца

$$\Pi = \int_{-\infty}^{\infty} \Pi_{\omega} e^{-i\omega t} d\omega. \quad (8)$$

Фурье-компоненты полей выражаются через  $\Pi_{\omega}$  по формулам

$$\begin{aligned} \mathbf{E}_{\omega} &= \operatorname{grad} \operatorname{div} \Pi_{\omega} + \frac{\omega^2}{c^2} \Pi_{\omega}, \\ \mathbf{H}_{\omega} &= -i \frac{\omega}{c} \operatorname{rot} \Pi_{\omega}. \end{aligned} \quad (9)$$

При этом вектор  $\Pi_{\omega}$  удовлетворяет уравнению

$$\Delta \Pi_{\omega} + \frac{\omega^2}{c^2} \Pi_{\omega} = -\frac{4\pi i}{\omega} \mathbf{j}_{\omega}. \quad (10)$$

Границные условия в рассматриваемом случае имеют вид

$$\begin{aligned} [E_{\varphi}^{(0)} + \tilde{E}_{\varphi}^{(1)}]_{z=0} &= 0, \quad \tilde{E}_r^{(1)}|_{z=0} = \tilde{\tilde{E}}_r^{(1)}|_{z=0}, \\ [E_{\varphi}^{(0)} + \tilde{E}_{\varphi}^{(1)}]_{z=0} &= 0, \quad \tilde{H}_{\varphi}^{(1)}|_{z=0} = \tilde{\tilde{E}}_{\varphi}^{(1)}|_{z=0}, \end{aligned} \quad (11)$$

где нулевой индекс соответствует полю заряда, а единичный — полю излучения.

На больших расстояниях поле излучения должно носить характер рас-

ходящихся волн. Волна сверху соответствует полю при  $z > 0$ , а две волны — полю при  $z < 0$ .

Вектор Герца  $\Pi_\omega$  также представим в виде

$$\Pi_\omega = \Pi_\omega^{(0)} + \Pi_\omega^{(1)}, \quad (12)$$

где вектор  $\Pi_\omega^{(0)}(0, 0, \Pi_\omega^{(0)})$  описывает поле заряда [3]

$$\Pi_\omega^{(0)} = \frac{iq}{\pi\omega} e^{i\frac{\omega}{v} z} \sum_{m=-\infty}^{\infty} e^{im\varphi} \int_0^\infty \frac{J_m(\lambda r_0) J_m(\lambda r)}{\lambda^2 + \frac{\omega^2}{v^2}(1 - \beta^2)} \lambda d\lambda, \quad (13)$$

а  $\Pi_\omega^{(1)}(\Pi_{\omega r}^{(1)}, \Pi_{\omega\varphi}^{(1)}, \Pi_{\omega z}^{(1)})$  — поле излучения.

Этот вектор удовлетворяет однородным уравнениям

$$(\Delta \Pi_\omega^{(1)})_r + \frac{\omega^2}{c^2} \Pi_{\omega r}^{(1)} = 0,$$

$$(\Delta \Pi_\omega^{(1)})_\varphi + \frac{\omega^2}{c^2} \Pi_{\omega\varphi}^{(1)} = 0,$$

$$\Delta \Pi_{\omega z}^{(1)} + \frac{\omega^2}{c^2} \Pi_{\omega z}^{(1)} = 0. \quad (14)$$

Последнее из уравнений (14) хорошо изучено и известны его решения

$$\Pi_{\omega z}^{(1)} = e^{im\varphi + i\omega t} J_m \left( \sqrt{\frac{\omega^2}{c^2} - x^2} r \right), \quad (15)$$

где  $m$  — целое число.

Что касается первых двух уравнений (14), то при их решении пользовались тем, что решения этих уравнений можно записать в виде

$$\mathbf{A} = \operatorname{rot} \mathbf{f}, \quad \mathbf{B} = \operatorname{rot} \operatorname{rot} \mathbf{f}, \quad (16)$$

где  $\mathbf{f} = e_z \Pi_{\omega z}$ , а  $\Pi_{\omega z}$  суть функции (15).

В нашей работе система первых двух уравнений (14) решается непосредственно, что в свою очередь дает возможность решать задачи этого класса естественным образом (разложением по найденным решениям системы уравнений (14)). Первые два уравнения системы (14) имеют вид [4]

$$\begin{aligned} \Delta \Pi_{\omega r}^{(1)} - \frac{\Pi_{\omega r}^{(1)}}{r^2} - \frac{2}{r^2} \frac{\partial \Pi_{\omega r}^{(1)}}{\partial \varphi} + \frac{\omega^2}{c^2} \Pi_{\omega r}^{(1)} &= 0, \\ \Delta \Pi_{\omega\varphi}^{(1)} - \frac{\Pi_{\omega\varphi}^{(1)}}{r^2} + \frac{2}{r^2} \frac{\partial \Pi_{\omega r}^{(1)}}{\partial \varphi} + \frac{\omega^2}{c^2} \Pi_{\omega\varphi}^{(1)} &= 0. \end{aligned} \quad (17)$$

Они образуют систему дифференциальных уравнений с частными производными второго порядка. Решение этой системы ищем в виде

$$\Pi_{\omega r}^{(1)} = F_r(r) e^{im\varphi + i\omega z}, \quad (18)$$

$$\Pi_{\omega\varphi}^{(1)} = F_\varphi(r) e^{im\varphi + i\omega z}. \quad (19)$$

Для функций  $F_r(r)$  и  $F_\varphi(r)$  получаем систему обыкновенных дифференциальных уравнений

$$\frac{d^2 F_r}{dr^2} + \frac{1}{r} \frac{dF_r}{dr} + \left( \frac{\omega^2}{c^2} - x^2 - \frac{m^2 + 1}{r^2} \right) F_r - \frac{2im}{r^2} F_\varphi = 0,$$

$$\frac{d^2 F_\varphi}{dr^2} + \frac{1}{r} \frac{dF_\varphi}{dr} + \left( \frac{\omega^2}{c^2} - x^2 - \frac{m^2 + 1}{r^2} \right) F_\varphi + \frac{2im}{r^2} F_r = 0. \quad (20)$$

Легко видеть, что решениями системы уравнений (20) являются

$$F_\varphi = Z_{m+1}(x), \quad F_r = iZ_{m+1}(x), \quad (21)$$

$$F_\varphi = Z_{m-1}(x), \quad F_r = -iZ_{m-1}(x), \quad (22)$$

где  $Z_{m-1}$ ,  $Z_{m+1}$  — цилиндрические функции, а  $x = \sqrt{(\omega^2/c^2) - k^2} r$ .

Учитывая это, решение задачи о переходном излучении на кольцевой решетке ищем в виде

$$\tilde{\Pi}_{\omega\varphi}^{(1)} = \sum_{m=-\infty}^{\infty} e^{im\varphi} \int_0^{\infty} \left\{ \tilde{B}_m(\lambda) H_m^{(1)}(\lambda r) + \tilde{C}_m(\lambda) H_m^{(2)}(\lambda r) \right\} e^{izx} d\lambda, \quad (23)$$

где верхняя строка соответствует  $r < r_0$ , а нижняя —  $r > r_0$

$$\begin{aligned} \tilde{\Pi}_{\omega\varphi}^{(1)} = & \sum_{m=-\infty}^{\infty} e^{im\varphi} \int_0^{\infty} \left\{ \tilde{M}_m(\lambda) H_{m+1}^{(1)}(\lambda r) + \right. \\ & \left. \tilde{D}_m(\lambda) J_{m+1}(\lambda r) + \right. \\ & \left. + \tilde{E}_m(\lambda) J_{m-1}(\lambda r) \right\} e^{izx} \lambda d\lambda, \end{aligned} \quad (24)$$

$$\begin{aligned} \Pi_{\omega r}^{(1)} = & i \sum_{m=-\infty}^{\infty} e^{im\varphi} \int_0^{\infty} \left\{ \tilde{M}_m(\lambda) H_{m+1}^{(1)}(\lambda r) - \right. \\ & \left. \tilde{N}_m(\lambda) H_{m-1}^{(1)}(\lambda r) + \right. \\ & \left. - \tilde{E}_m(\lambda) J_{m-1}(\lambda r) \right\} e^{izx} \lambda d\lambda. \end{aligned} \quad (25)$$

При этом уравнения (14) удовлетворяются. При  $z < 0$  волну заменяем на две волны, функцию  $e^{izx}$  на  $e^{-izx}$ . Здесь

$$x = \sqrt{\frac{\omega^2}{c^2} - \lambda^2}, \quad Im x > 0. \quad (26)$$

К граничным условиям (11) надо еще присоединить условие

$$\operatorname{div} \Pi_{\omega}^{(1)} = 0 \quad (27)$$

и потребовать непрерывность поля излучения при  $r = r_0$ . Последнее приводит к формулам

$$\begin{aligned} \tilde{B}_m(\lambda) &= \tilde{C}_m(\lambda) [= B_m(\lambda)], \\ \tilde{A}_m(\lambda) &= 2B_m(\lambda). \end{aligned} \quad (28)$$

Аналогично

$$\begin{aligned} \tilde{M}_m(\lambda) &= \tilde{N}_m(\lambda) = \tilde{P}_m(\lambda) = \tilde{Q}_m(\lambda) [= M_m(\lambda)], \\ \tilde{D}_m(\lambda) &= \tilde{E}_m(\lambda) = 2M_m(\lambda). \end{aligned} \quad (29)$$

Из других условий получаем

$$\tilde{B}_m(\lambda) = \tilde{C}_m(\lambda) = -B_m(\lambda), \quad (30)$$

$$\tilde{D}_m(\lambda) = \tilde{E}_m(\lambda) = \tilde{B}_m(\lambda) = \tilde{E}_m(\lambda) [= D_m(\lambda)], \quad (31)$$

$$\tilde{A}_m(\lambda) = -\tilde{B}_m(\lambda) = -\frac{2\lambda}{x} D_m(\lambda), \quad (32)$$

$$\tilde{M}_m(\lambda) = \tilde{N}_m(\lambda) = \tilde{P}_m(\lambda) = \tilde{Q}_m(\lambda) = \tilde{D}_m(\lambda) = \tilde{E}_m(\lambda). \quad (33)$$

Условие  $[E_\varphi^{(0)} + E_\varphi^{(1)}]_{x=0} = 0$  дает

$$D_m(\lambda) = -\frac{iqc^2}{2\pi\nu\omega^2} \frac{J_m(\lambda r_0) \cdot \lambda}{\lambda^2 + \frac{\omega^2}{v^2} (1 - \beta^2)}. \quad (34)$$

При этом формулы (23)–(25) имеют одинаковый вид при  $r < r_0$  и  $r > r_0$ .  
Задача еще состоит в том, чтобы удовлетворить условиям излучения. Для этого рассмотрим поле в волновой зоне ( $\omega/c$ )  $R \gg 1$  (при  $z > 0$ ). Используя формулы обхода [2]

$$H_m^{(2)}(-z) = -(-1)^m H_m^{(1)}(z)$$

и условие

$$B_m(-\lambda) = (-1)^m B_m(\lambda),$$

получим

$$\tilde{\Pi}_{\omega zm}^{(1)} = e^{izm\varphi} \int_{-\infty}^{\infty} B_m(\lambda) H_m^{(1)}(\lambda r) e^{iz\lambda} d\lambda. \quad (35)$$

Применим далее асимптотику функций Ханкеля [2] и метод перевала [5] (преобразование  $\lambda = (\omega/c) \cos \tau$ ,  $z = (\omega/c) \sin \tau$ ;  $z = R \cos \theta$ ,  $r = R \sin \theta$ ; точка перевала  $\tau_0 = (\pi/2) - \theta$ , направление линии перевала  $\alpha_0 = -(3/4)$ ), получим

$$\tilde{\Pi}_{\omega zm}^{(1)} = \frac{qv}{\pi\omega^2} e^{im\left(\varphi - \frac{\pi}{2}\right) - i\frac{\pi}{2}} \frac{\sin^2 \theta}{1 - \beta^2 \cos^2 \theta} J_m\left(\frac{\omega}{c} \sin \theta \cdot r_0\right) \frac{e^{i\frac{\omega}{c} R}}{R}, \quad (36)$$

$\tilde{\Pi}_{\omega zm}^{(1)}$  не дает вклада в излучение, а

$$\tilde{\Pi}_{\omega zm}^{(1)} = -\frac{qv}{\pi\omega^2} e^{im\left(\varphi - \frac{\pi}{2}\right)} \frac{\sin \theta \cdot \cos \theta}{1 - \beta^2 \cos^2 \theta} J_m\left(\frac{\omega}{c} \sin \theta r_0\right) \frac{e^{i\frac{\omega}{c} R}}{R}. \quad (37)$$

Здесь  $R$  и  $\theta$  — сферические координаты. Для полей в волновой зоне ( $\omega/c$ )  $R \gg 1$  получаем

$$\tilde{H}_{\omega zm}^{(1)} = \tilde{E}_{\omega zm}^{(1)} = -\frac{qv}{\pi c^2} e^{im\left(\varphi - \frac{\pi}{2}\right)} J_m\left(\frac{\omega}{c} \sin \theta r_0\right) \frac{\sin \theta}{1 - \beta^2 \cos^2 \theta} \frac{e^{i\frac{\omega}{c} R}}{R}, \quad (38)$$

а  $\tilde{H}_{\omega zm}^{(1)} = \tilde{E}_{\omega zm}^{(1)}$  не дают вклада в излучение, так как зависят от  $R$  как  $e^{i(\omega/c)t}/R$ . Здесь  $m = 0, \pm 1, \pm 2, \dots$ . Таким образом, поле в волновой зоне линейно поляризовано, причем электрический вектор лежит в плоскости, проходящей через луч и ось  $z$ . Полученные выражения полей позволяют найти энергию излучения на частоте  $\omega$ . Получаем

$$W_{\omega m} = c |E_{\omega zm}|^2 = \frac{q^2 v^2}{\pi^2 c^3} \cos^2 m\varphi J_m^2\left(\frac{\omega}{c} \sin \theta r_0\right) \frac{\sin^2 \theta}{(1 - \beta^2 \cos^2 \theta)^2}, \quad (39)$$

где  $m = 0, 1, 2, \dots$ .

Для  $m = 0$  из формулы (39) получаем

$$W_{\omega 0} = \frac{q^2 v^2}{\pi^2 c^3} \frac{\sin^2 \theta}{(1 - \beta^2 \cos^2 \theta)^2}, \quad (40)$$

что совпадает с формулой, полученной в работе [6], для энергии переходного излучения заряда  $q$  на сплошной идеально проводящей плоскости.

Если заряд движется по оси  $z$  ( $r_0 = 0$ ), то вся энергия излучения совпадает с (40) и это дает основание утверждать, что медленно движущийся по оси  $z$  заряд (дипольное излучение) не «чувствует» анизотропии плоскости  $xOy$ .

### Переходное излучение заряда на радиальной решетке

В случае радиальной решетки все расчеты проводятся аналогично. Вместо граничного условия (1) теперь будет условие

$$E_r|_{z=0} = 0, \quad (41)$$

а в условиях (12) знаки  $r$  и  $\varphi$  у  $E$  и  $H$  поменяются местами. Эти изменения в граничных условиях приводят, однако, к тем же коэффициентам (с отмеченной заменой у  $E$  и  $H$   $\varphi$  на  $r$  и наоборот). Так, при движении заряда по оси  $z$  энергия

излучения дается той же формулой (40), т. е. еще раз подтверждается отсутствие влияния анизотропии плоскости  $xOy$  на энергию и направленность излучения. Отличие случая кольцевой решетки от радиальной проявляется только в поляризации излучения.

### Заключение

Таким образом, в случае дипольного излучения заряда кольцевая и радиальная решетки дают одинаковую интенсивность и направленность излучения (различна только поляризация), совпадающие с интенсивностью и направленностью переходного излучения заряда на сплошной плоскости.

Теперь можно рассмотреть излучение магнитного заряда [7]. Как отмечено в работе [8], для получения соответствующих формул нет необходимости проводить расчеты, дополнительные к теории переходного излучения электрического заряда  $q$ . Результат можно получить сразу, пользуясь симметрией уравнений Максвелла и заменяя  $q$  на  $g$  и вектор  $E$  на  $H$ . В волновой зоне векторы  $E$  и  $H$  одинаковы по величине и меняются местами при замене  $q$  на  $g$  ( $g$  — величина магнитного заряда). Поэтому изменится поляризация излучения (и его интенсивность) в  $(g/q)^2$  раз.

Наибольший интерес представляет, однако, случай ультраполятистский  $v=c$ . В этом случае поле электрического заряда расположено в плоскости  $z=vt$  и его силовые линии образуют «радиальную решетку». Если в плоскости  $z=0$  расположена металлическая радиальная решетка, то при достижении зарядом  $q$  начала координат поле возбуждает в радиальной решетке токи такие же, как и в сплошной решетке, и возникает излучение, поляризация, интенсивность и направленность которого такие же, как и для сплошной плоскости. Если же в плоскости  $z=0$  расположена кольцевая решетка, то силовые линии (линии  $E$ ) заряда ортогональны кольцам и не будут возбуждать в них ток. Это в свою очередь будет означать, что ультраполятистский заряд  $q$  будет давать на кольцевой решетке только дипольную часть излучения, а основное излучение (вперед по линии движения) будет отсутствовать. Для ультраполятистского магнитного заряда  $g$  картина противоположная. На кольцевой решетке такой заряд будет давать излучение вперед, которое в  $(g/q)^2$  раз интенсивнее излучения электрического заряда на сплошной плоскости и отличается от него поляризацией.

Приведенные выше соображения позволяют надеяться на использование кольцевой решетки для поисков магнитных зарядов. Если имеется пучок, содержащий электрические и магнитные заряды ( $v=c$ ), то, поставив на его пути кольцевую решетку, надо следить за наличием излучения на пути движения пучка (вперед). Если в этом направлении будет зарегистрировано излучение, то из этого следует, что в пучке есть магнитные заряды. Если такого излучения нет, то пучок целиком состоит из электрических зарядов.

Заметим, в конце, что полученные для бесконечной решетки результаты будут верны и для решетки конечных размеров (радиуса  $R_0$ ), если выполнено неравенство  $a \ll \lambda \ll R_0$ , где  $a$  — расстояние между прутьями (и толщина прутьев),  $\lambda$  — длина волны, т. е. бесконечность решетки не носит принципиального характера.

Указанное двойное неравенство относится и к дипольному излучению. Для ультраполятистского случая  $\lambda \ll a \ll R_0$ , так что всегда можно выбрать  $R_0$  достаточно большим, но конечным.

Отметим, что кольца решетки можно сделать из кусков проволоки различной длины, согнув их в окружности-кольца, и расположить в одной плоскости с помощью какого-либо диэлектрического клея.

В заключение выражаю благодарность К. А. Барсукову и Б. М. Болотовскому за интерес к работе, а также рецензенту, замечания которого во многом способствовали ее улучшению.

### Список литературы

- [1] Барсуков К. А., Нарышкина Л. Г. // Изв. вузов. Радиофизика. 1965. Т. 8. № 5. С. 936—941.
- [2] Градштейн И. С., Рыжик И. М. Таблицы интегралов, сумм, рядов и произведений. М., 1963. 1100 с.

- [3] Болотовский Б. М., Воскресенский Г. В. // УФН. 1966. Т. 88. № 2. С. 209—251.
- [4] Ландау Л. Д., Лифшиц Е. М. Электродинамика сплошных сред. М.: Наука, 1982. 620 с.
- [5] Лаврентьев М. А., Шабат Б. В. Методы теории функций комплексного переменного. М.: Наука, 1987. 688 с.
- [6] Гинзбург В. Л., Франк И. М. // ЖЭТФ. 1946. Т. 16. Вып. 1. С. 15—28.
- [7] Монополь Дирака. Сб. статей / Под ред. Б. М. Болотовского, Ю. Д. Усачева. М.: Мир, 1970. 331 с.
- [8] Франк И. М. // ЯФ. 1979. Т. 29. № 1. С. 180—187.

Астраханский государственный  
педагогический институт  
им. С. М. Кирова

Поступило в Редакцию  
16 января 1990 г.  
В окончательной редакции  
15 августа 1990 г.

---